# Mise en oeuvre de schémas de haute précision dans une méthode de maillages recouvrants cartésiens/curvilignes

C. Benoit, S.Péron, P. Raud, O. Saunier

### Plan

- Méthode de génération et d'adaptation de maillages cartésiens
- Schéma d'ordre 3
- Adaptation du schéma pour cette topologie de maillage
- Extension d'ordre 5
- Quelques résultats

### Méthode de maillages cartésiens

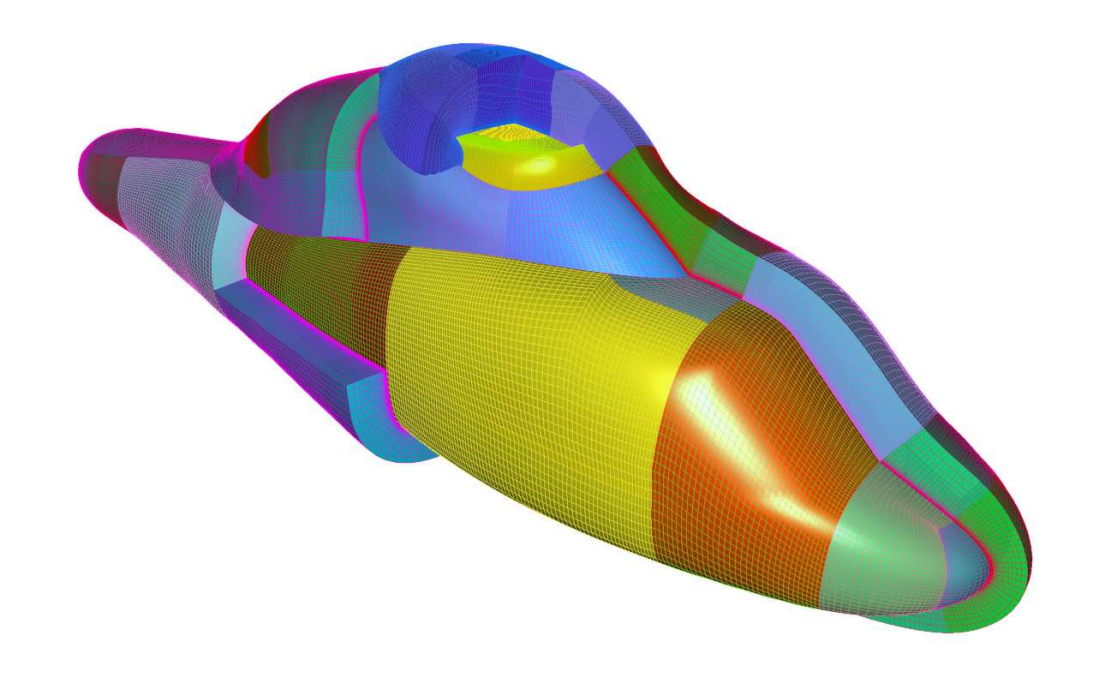
- Entrée : maillages autour des corps
  - Décrivent précisément la géométrie
  - Faible extension





### Méthode de maillages cartésiens

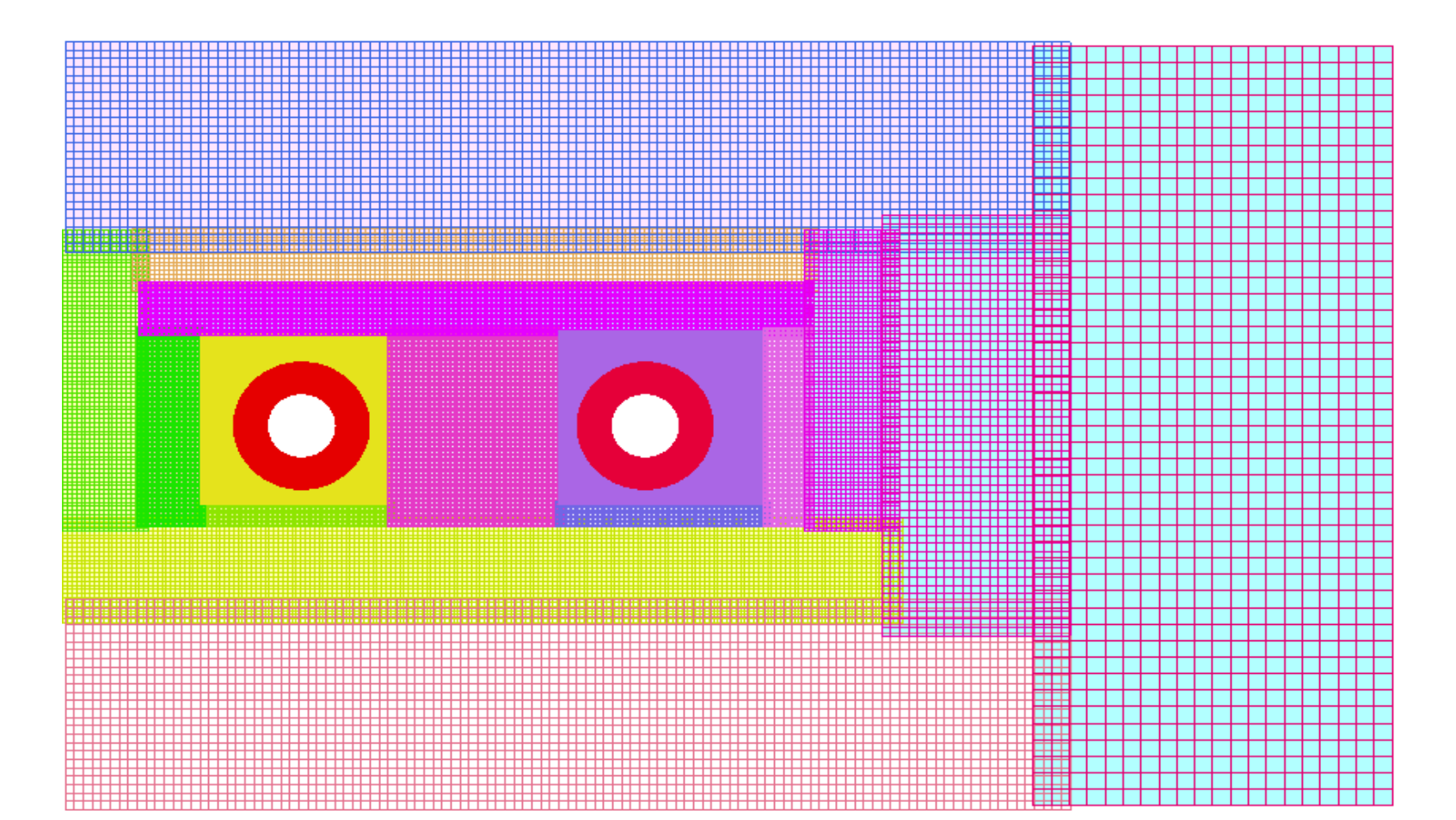
- Entrée : maillages autour des corps
  - Décrivent précisément la géométrie
  - Faible extension



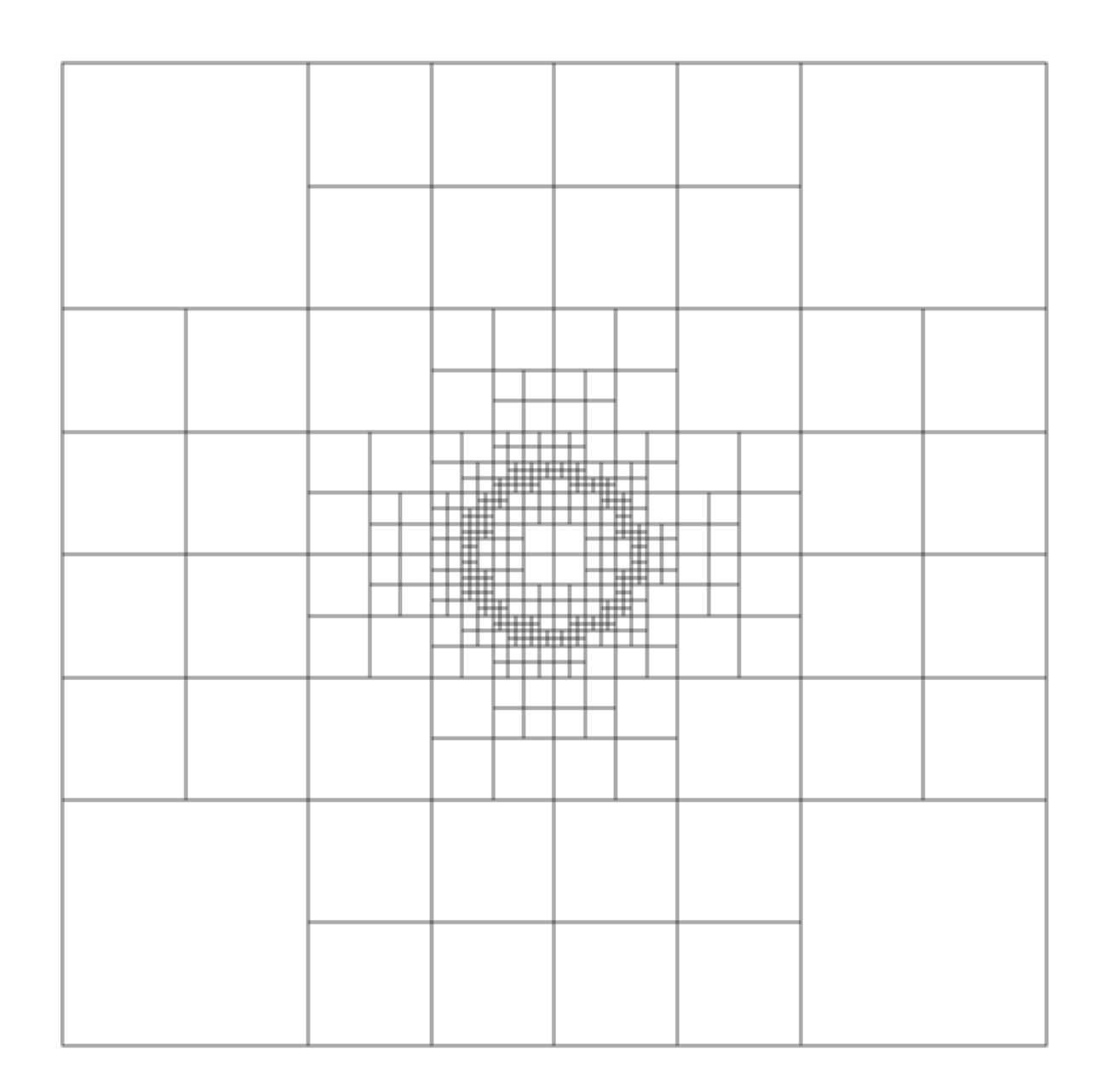
Engendré généralement par extrusion de la surface

### Méthode de maillages cartésiens

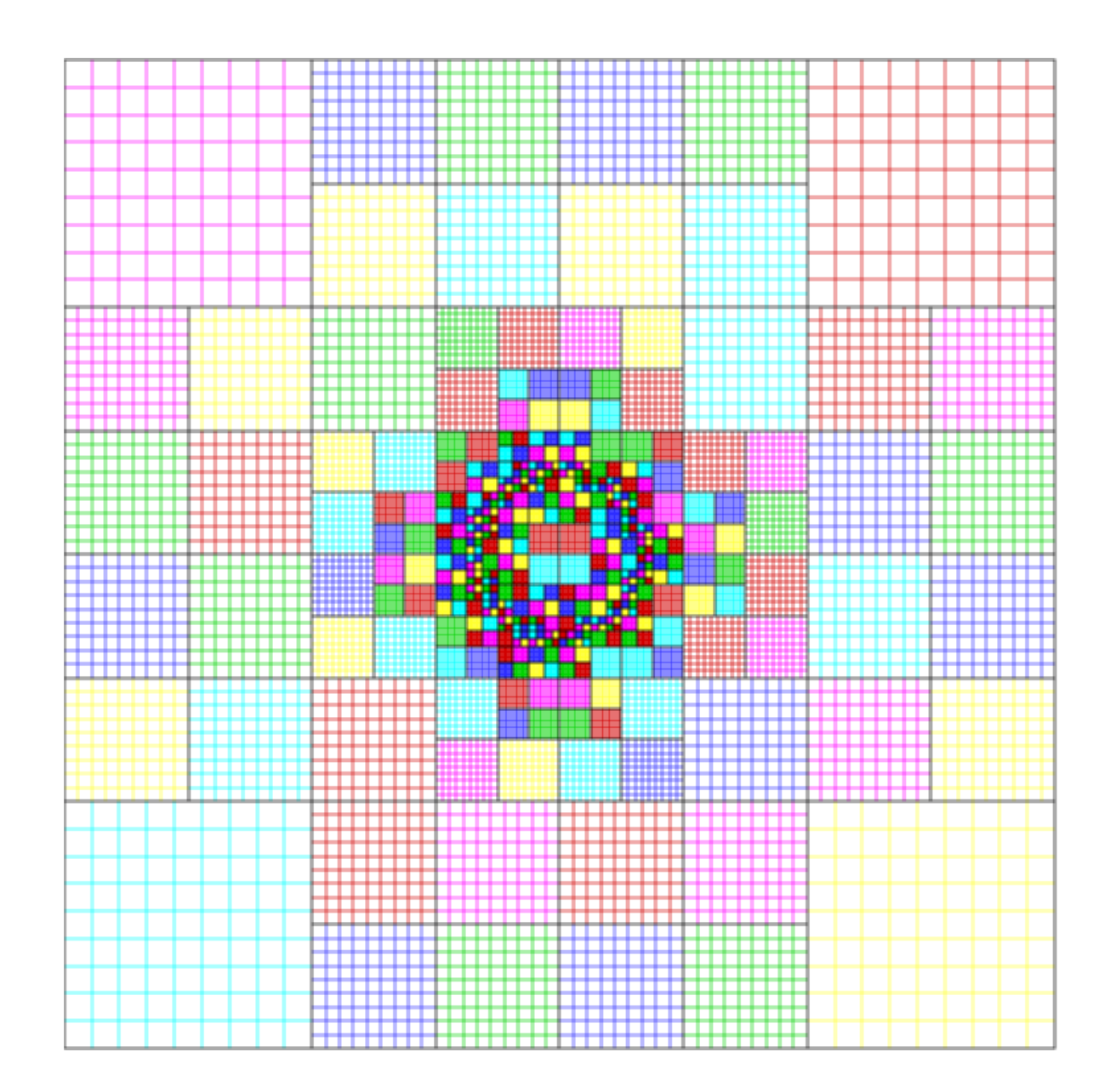
- Génération du maillage cartésien
  - Grilles cartésiennes régulières
  - Pas plus fin si proche des corps
  - Nombre de points minimum par grille controlé



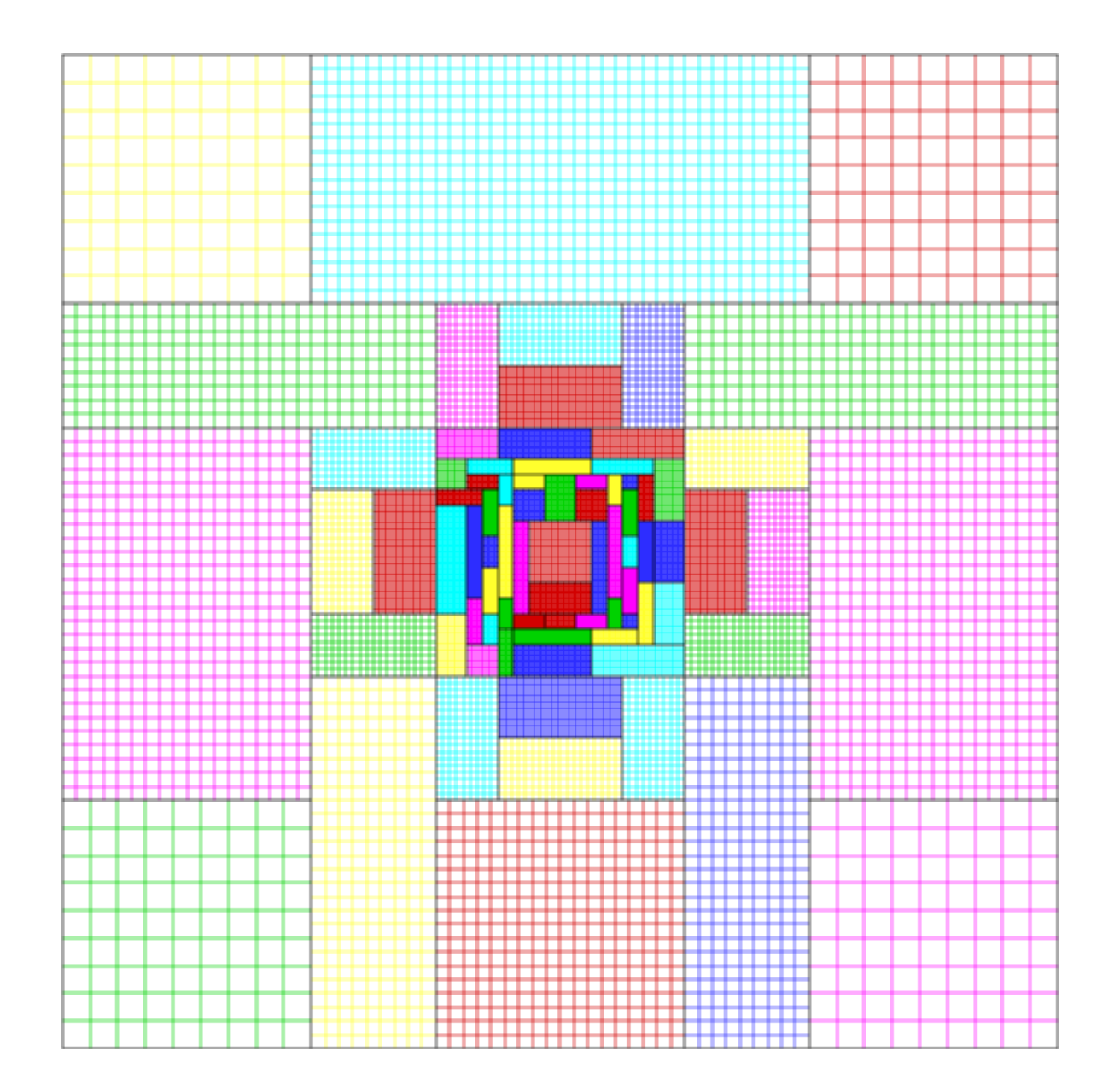
Octree raffiné Près des corps



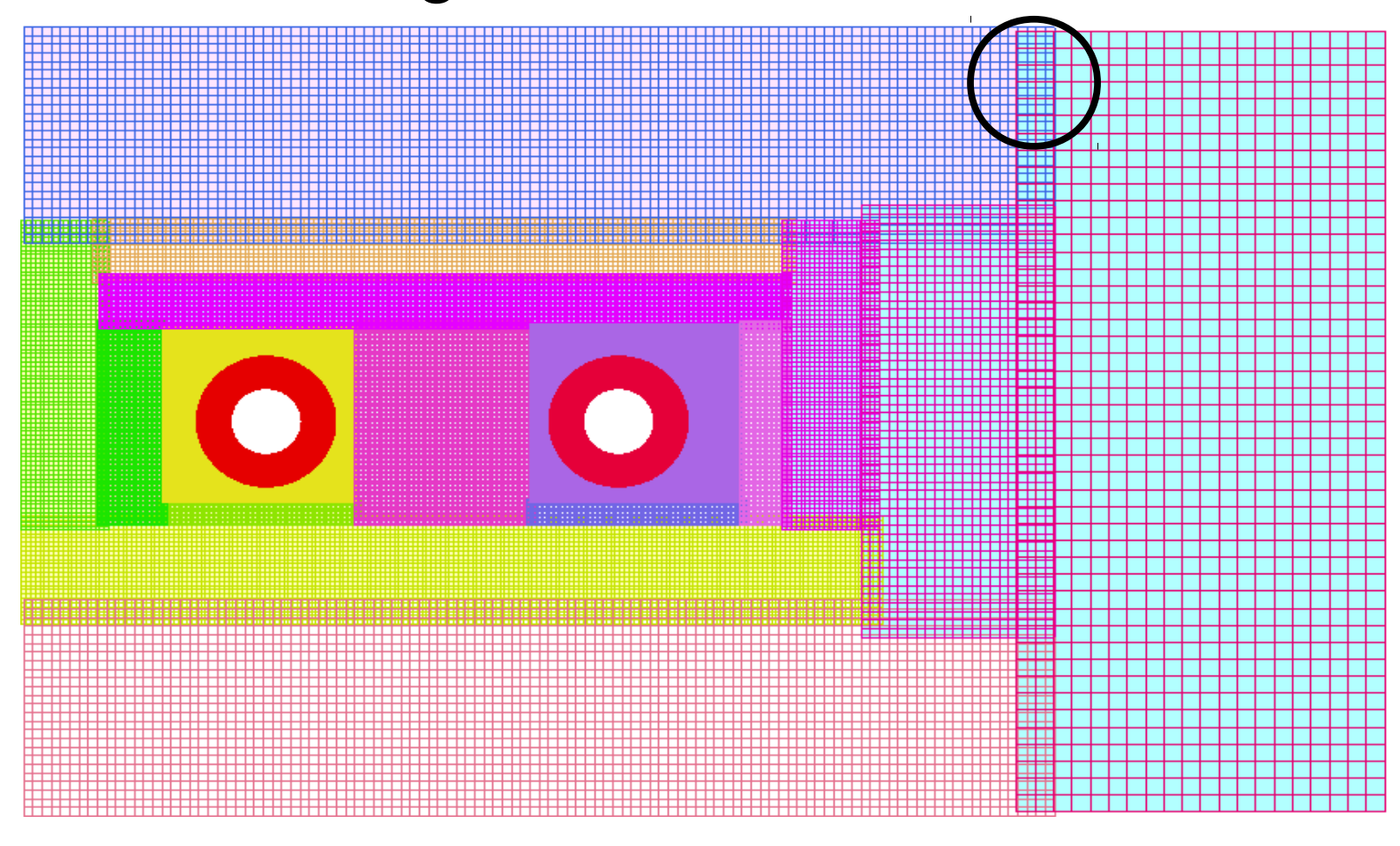
Chaque cellule est remplie avec un maillage structuré NxN

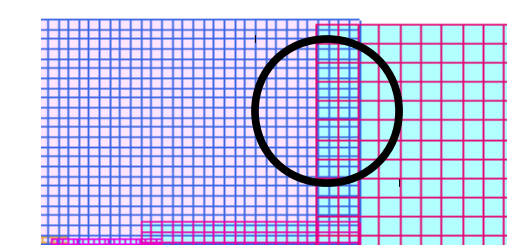


On fusionne les grilles au mieux



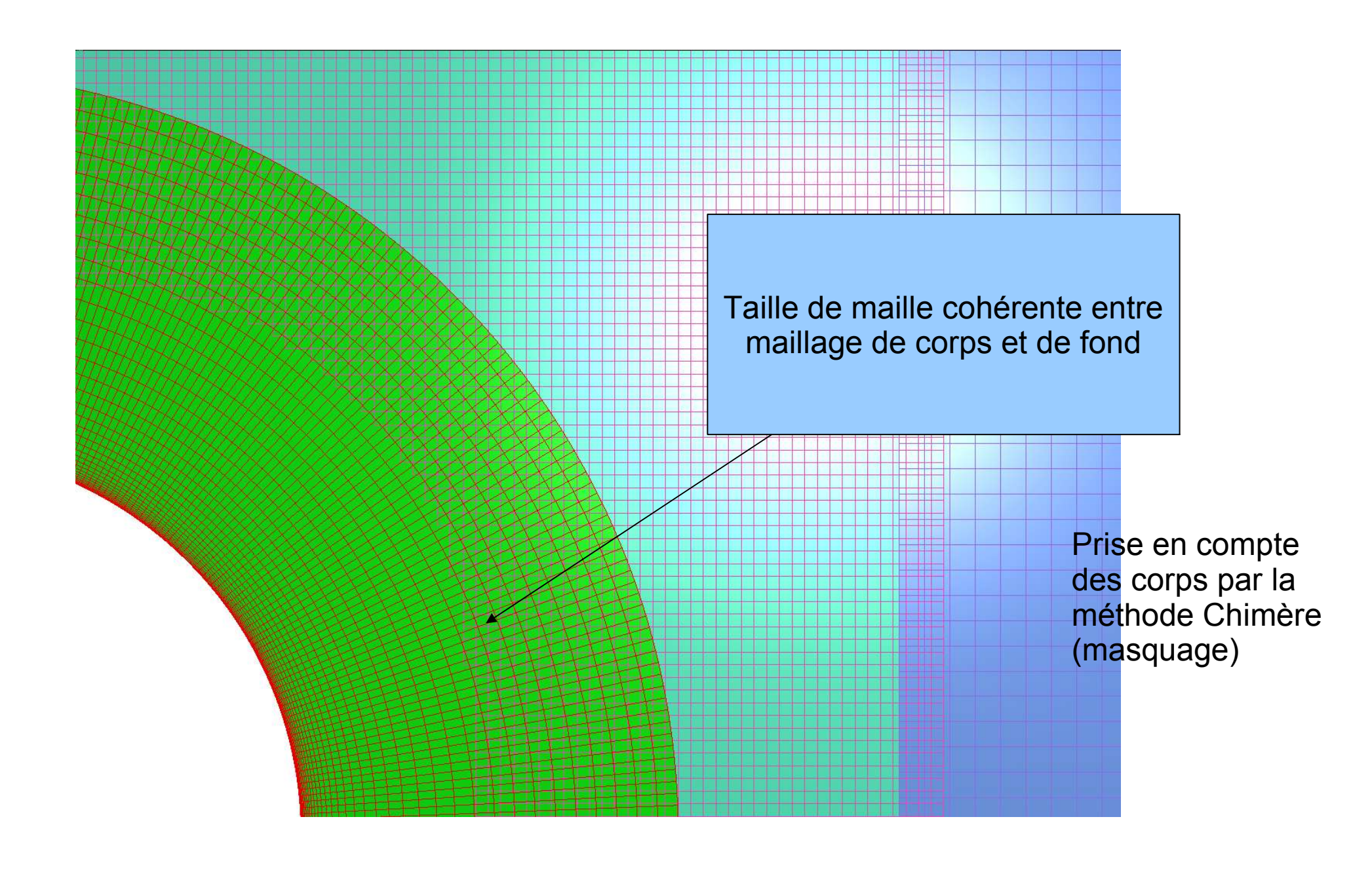
Extension des grilles





### Extension des grilles

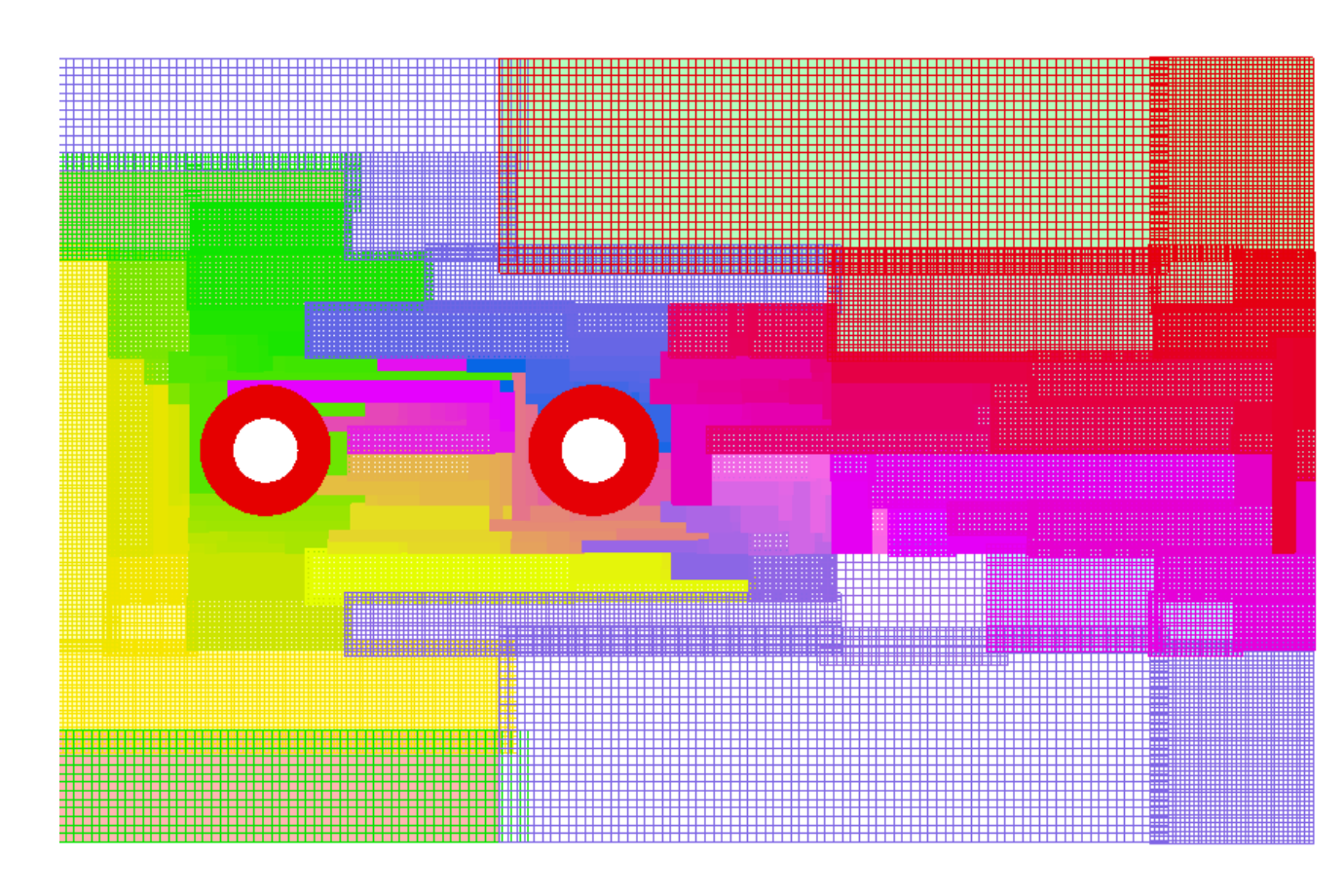
- Recouvrement minimum entre grilles cartésiennes par construction
- Transfert des grandeurs conservatives par interpolation
- Raccords coïncidents entre les grilles de même niveau
- Assure que tout le domaine est interpolable à partir des centres des grilles



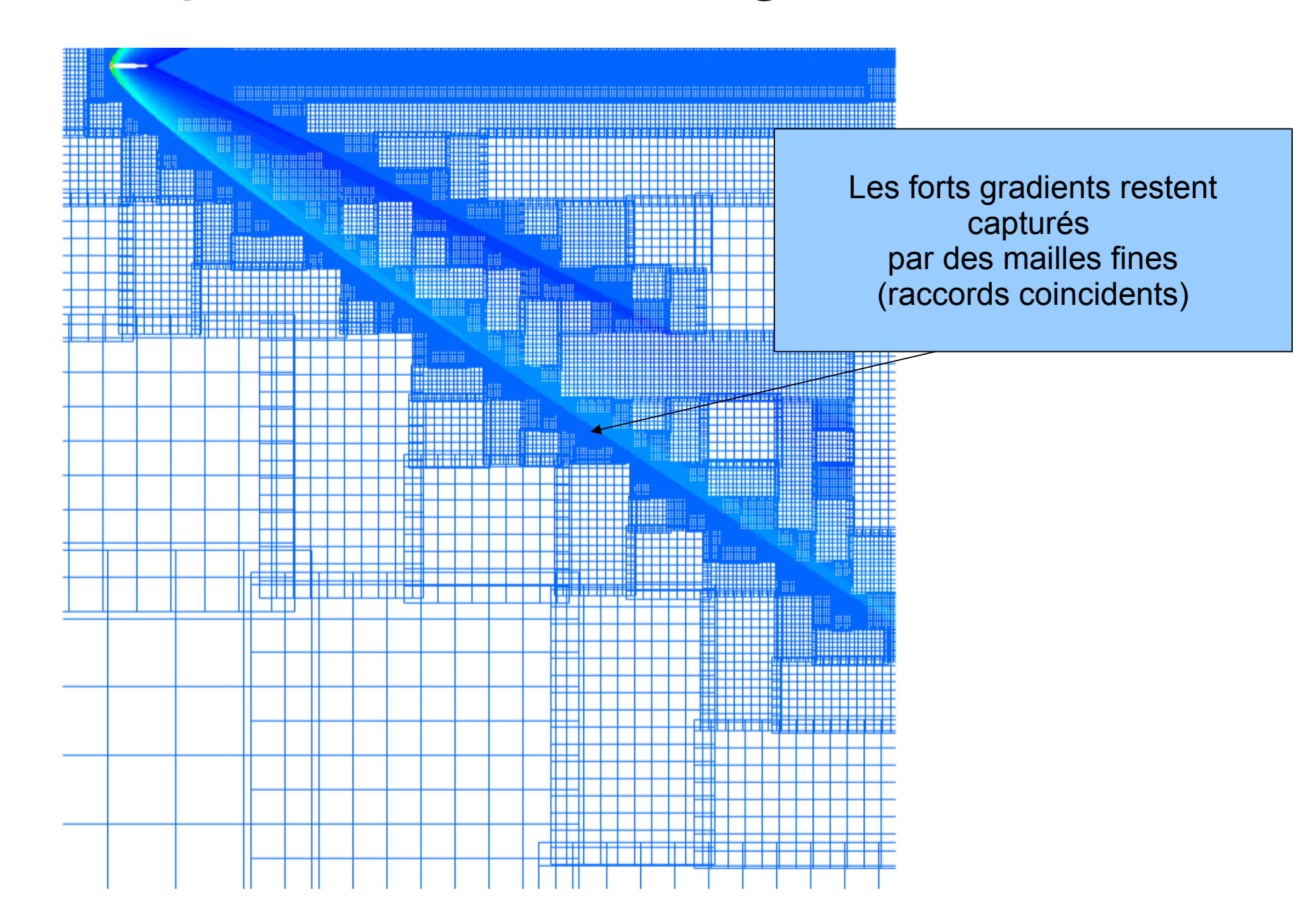
### Adaptation du maillage Cartésien

- Adaptation du maillage cartésien
  - Remaillage en fonction d'un critère évalué sur le maillage précédent (gradient, critère Q, erreur d'interpolation...)

L'octree est raffinée, le maillage structuré est regénéré

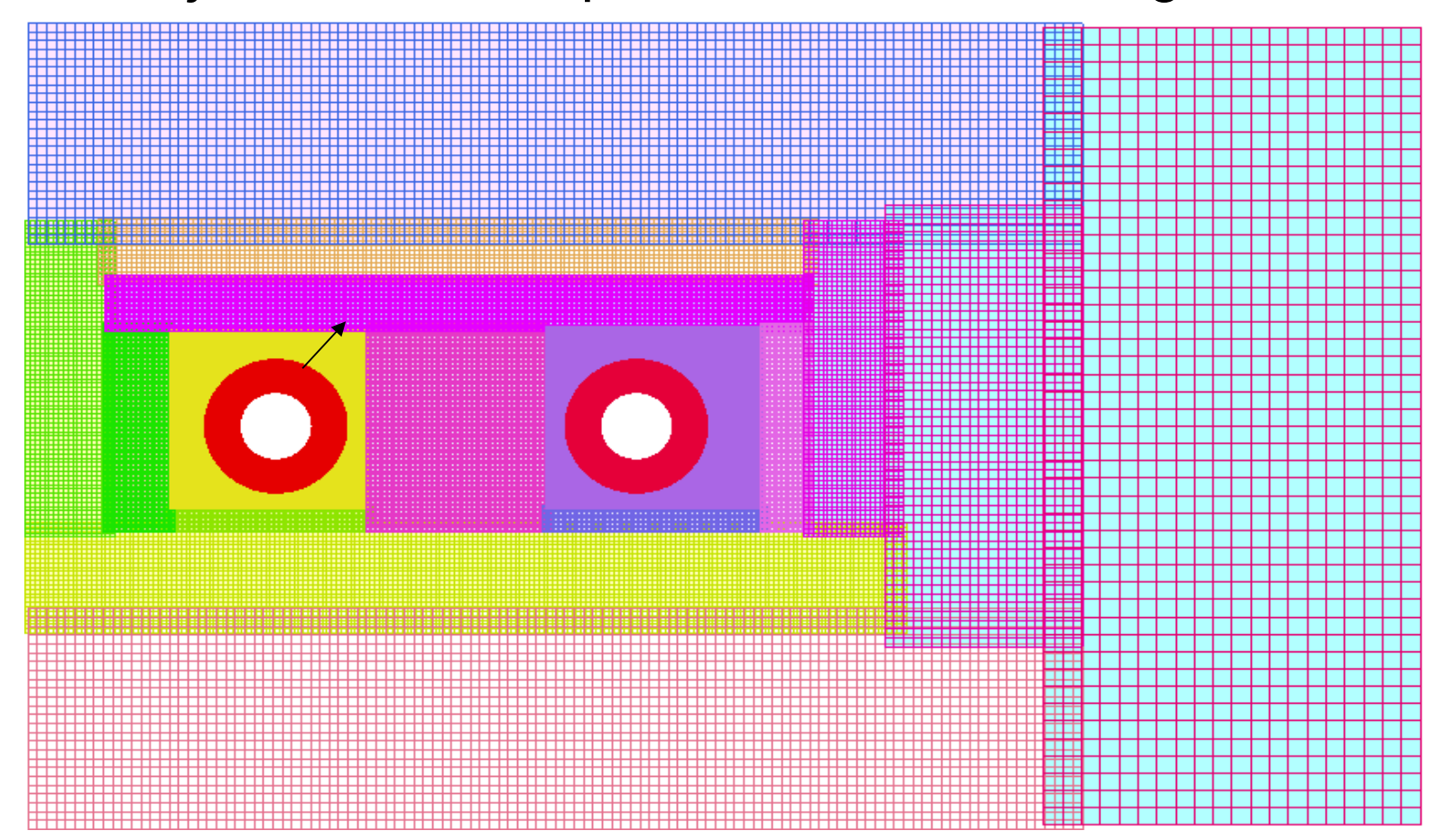


### Adaptation du maillage Cartésien



### Possibilité de maillages mobiles :

- Déplacement des grilles de corps
- On adapte périodiquement pour prendre en compte la trajectoire des corps entre deux remaillages



# Pourquoi des grilles cartésiennes?

- Précision/efficacité des solveurs
  - Pas de stockage de la métrique
  - Simplification des calculs
- Grande rapidité de la recherche des cellules d'interpolation
- Schémas de haute précision faciles à mettre en oeuvre, à moindre coût, et robustes

# Schéma d'ordre 3 sur les grilles curvilignes

- Approche volumes finis
- Schéma centré
- Introduit par Rezgui, Cinella, Lerat
- Choisie car proche du schéma de Jameson

$$\frac{d}{dt} \int_{\Omega} w \ d\Omega + \int_{\partial \Omega} F(w) \cdot n \ d\Gamma = 0$$

- Maillages curvilignes
  - Approximation de l'intégrale de surface
  - Non prise en compte des pondérations (lourd)

$$F_{i+\frac{1}{2},j,k} = [(I - \frac{1}{8}\delta_1^2 + \frac{1}{24}\delta_2^2 + \frac{1}{24}\delta_3^2)\mu_1\phi]_{i+\frac{1}{2},j,k}$$

Formulation VF3  $\phi = F(w).n$ 

- Maillages cartésiens
- Dégénérescence du schéma volumes finis en une formulation différences finies
  - Extension immédiate au cas tridimensionnel

**Formulation DNC** 

$$\[ w_t + \frac{\delta_1}{\delta x} (I - \frac{1}{6}\delta_1^2)\mu_1 f + \frac{\delta_2}{\delta y} (I - \frac{1}{6}\delta_2^2)\mu_2 g + \frac{\delta_3}{\delta z} (I - \frac{1}{6}\delta_3^2)\mu_3 h \]_{i,j,k} = 0$$

#### Dissipation numérique de Jameson, Schmidt et Turkel

- Viscosité artificielle de type Jameson 

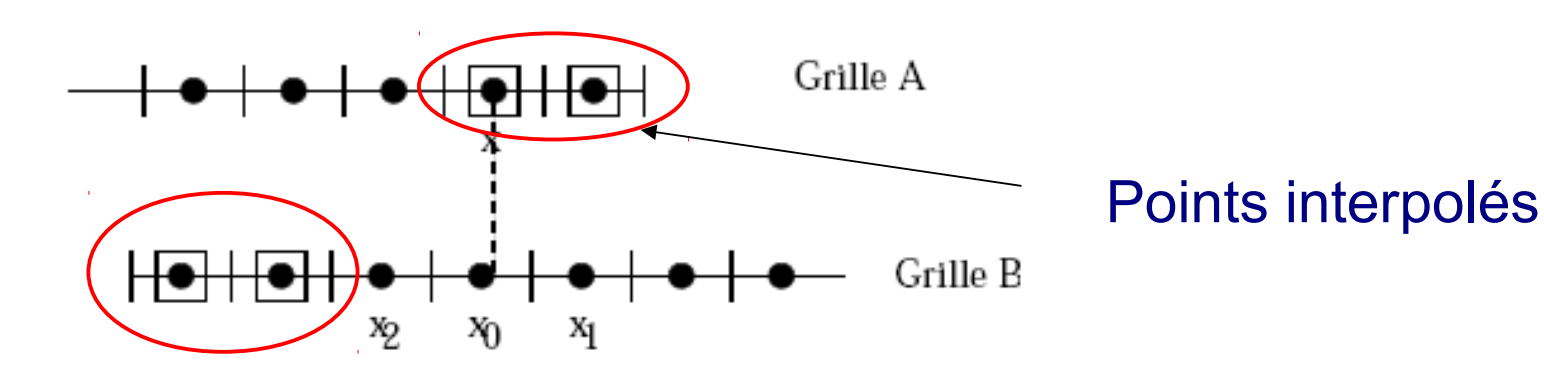
  assurer la stabilité
- Terme dissipatif en  $O(h^3)$

#### Flux numérique :

$$F_{j+\frac{1}{2},k} = (F-D)_{j+\frac{1}{2},k}$$
 
$$(D)_{j+\frac{1}{2},k} = \rho(\bar{A}_{j+\frac{1}{2},k})(\epsilon_2\delta_1w - \epsilon_4\delta_1^3w)_{j+\frac{1}{2},k}$$
 Ordre 3

#### Raccords chimères d'ordre 3

Interpolations d'ordre 3 (entre grilles cartésiennes)

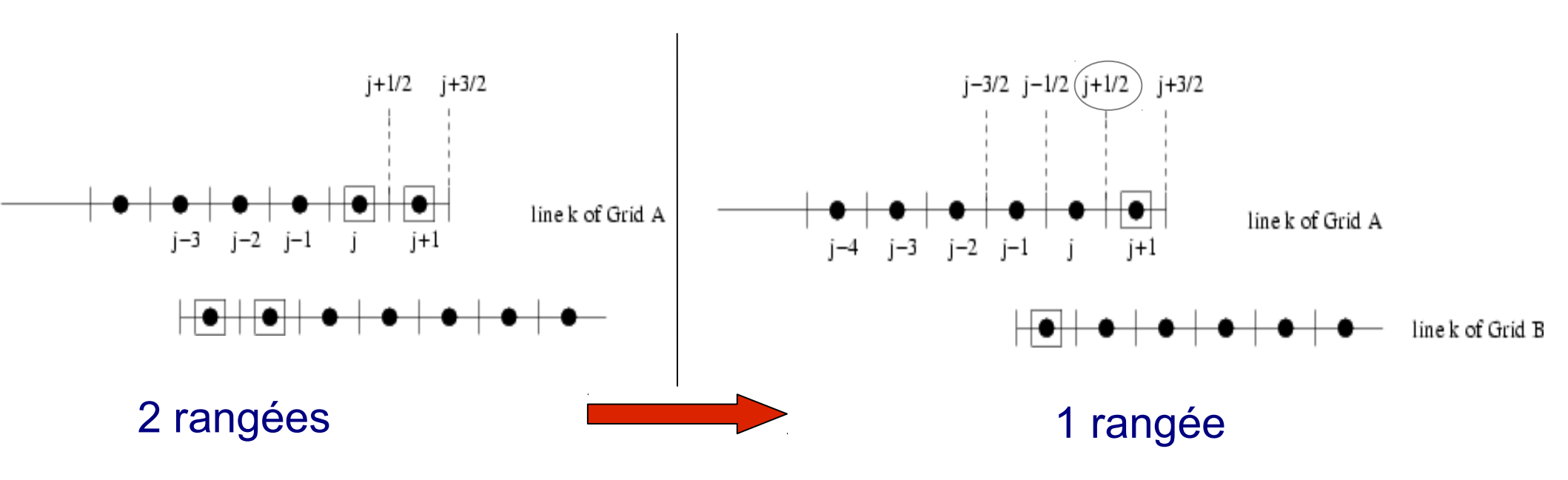


Polynômes de Lagrange directionnels de degré 2

$$P_n(x)=\sum_{i=0}^n l_i(x)w(x_i)$$
 n=2 
$$l_i(x)=\prod_{j=0}^n \frac{(x-x_j)}{(x_i-x_j)}, \qquad 0\leq i\leq n$$

#### Minimisation des contraintes liées au recouvrement

- •1 seule "rangée" de cellules interpolées (pour les simulations en aéro)
- Modification du schéma près des frontières : formules décentrées
- Maintien de l'ordre global de précision (flux convectif + flux dissipatif)



#### Extension de la méthode à l'ordre 5 (grilles cartésiennes)

- Extension d'ordre 5 sur grilles cartésiennes (formulation DNC5)
  - Schémas de Lerat et Corre
  - Partie centrée d'ordre 6
  - Dissipation matricielle d'ordre 5
    - Equivalence à une formulation volumes finis d'ordre 5

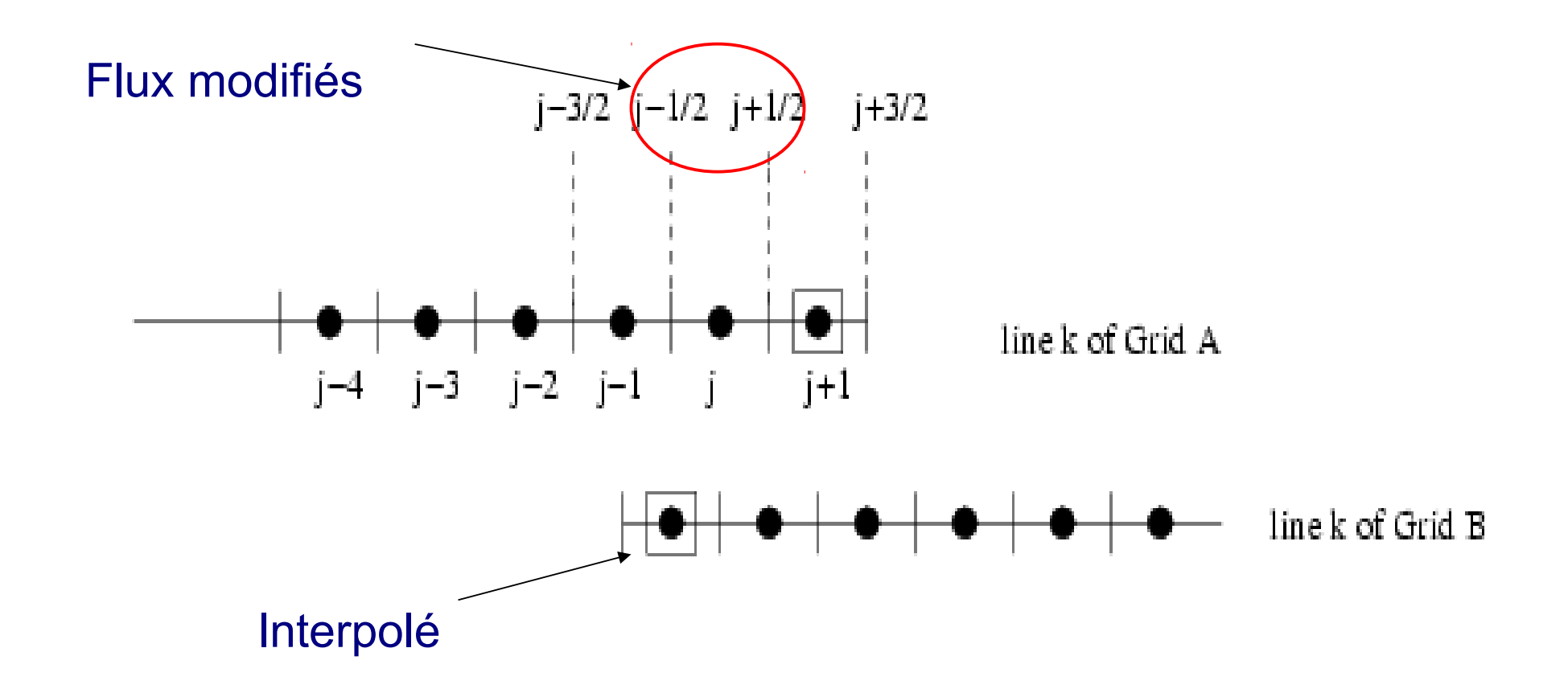
$$(w_t)_j + \frac{\delta}{\delta x} [(I - \frac{1}{6}\delta^2 + \frac{1}{30}\delta^4)\mu f]_j) = \left(\frac{\delta}{\delta x} \left(\frac{1}{60} |A_R|\delta^5 w\right)_j\right)$$

Partie centrée

Partie dissipative

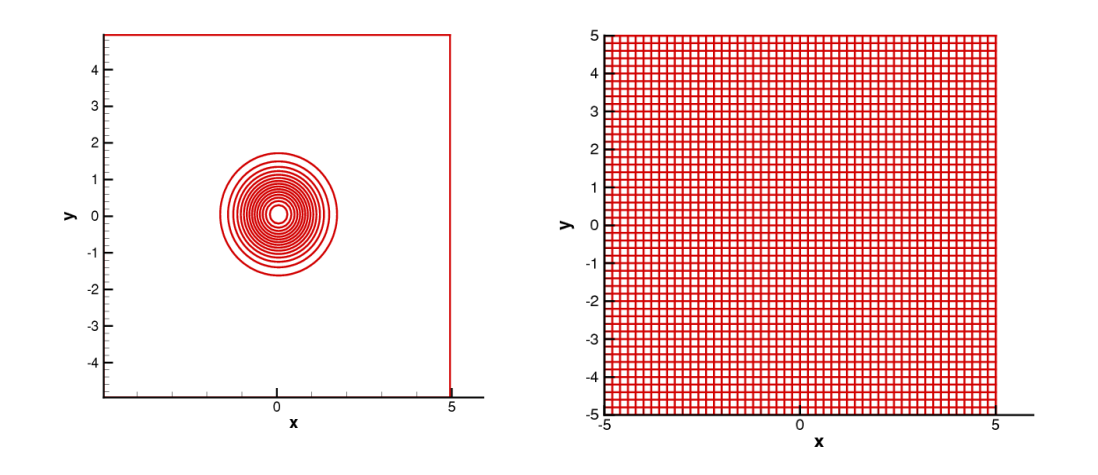
#### Minimisation des contraintes de recouvrement

- Formules décentrées près des frontières de recouvrement
- Prise en compte des cas particuliers (taille de grille réduite)

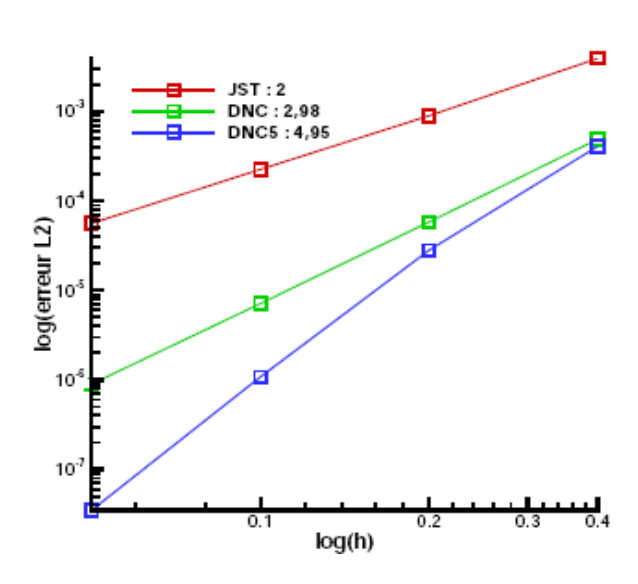


#### Advection d'un tourbillon isolé : ordres d'erreur (1)

- Modèle inspiré du cas test de Yee
- Conditions aux limites périodiques, advection dans un écoulement au repos, t=0,1
- Ordre d'erreur des formulations JST, DNC,

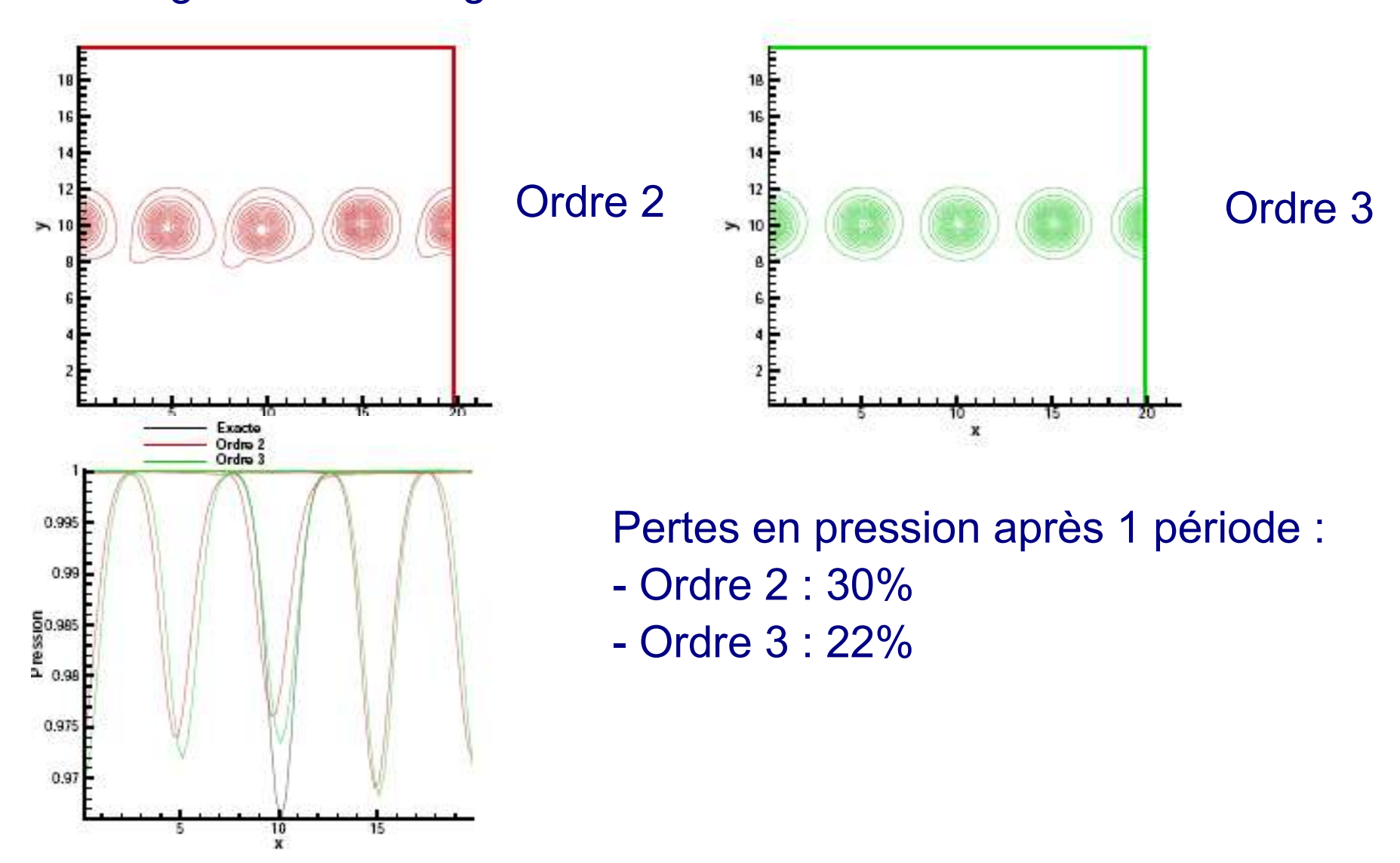


Maillage cartésien



#### Advection d'un tourbillon isolé : conservation (2)

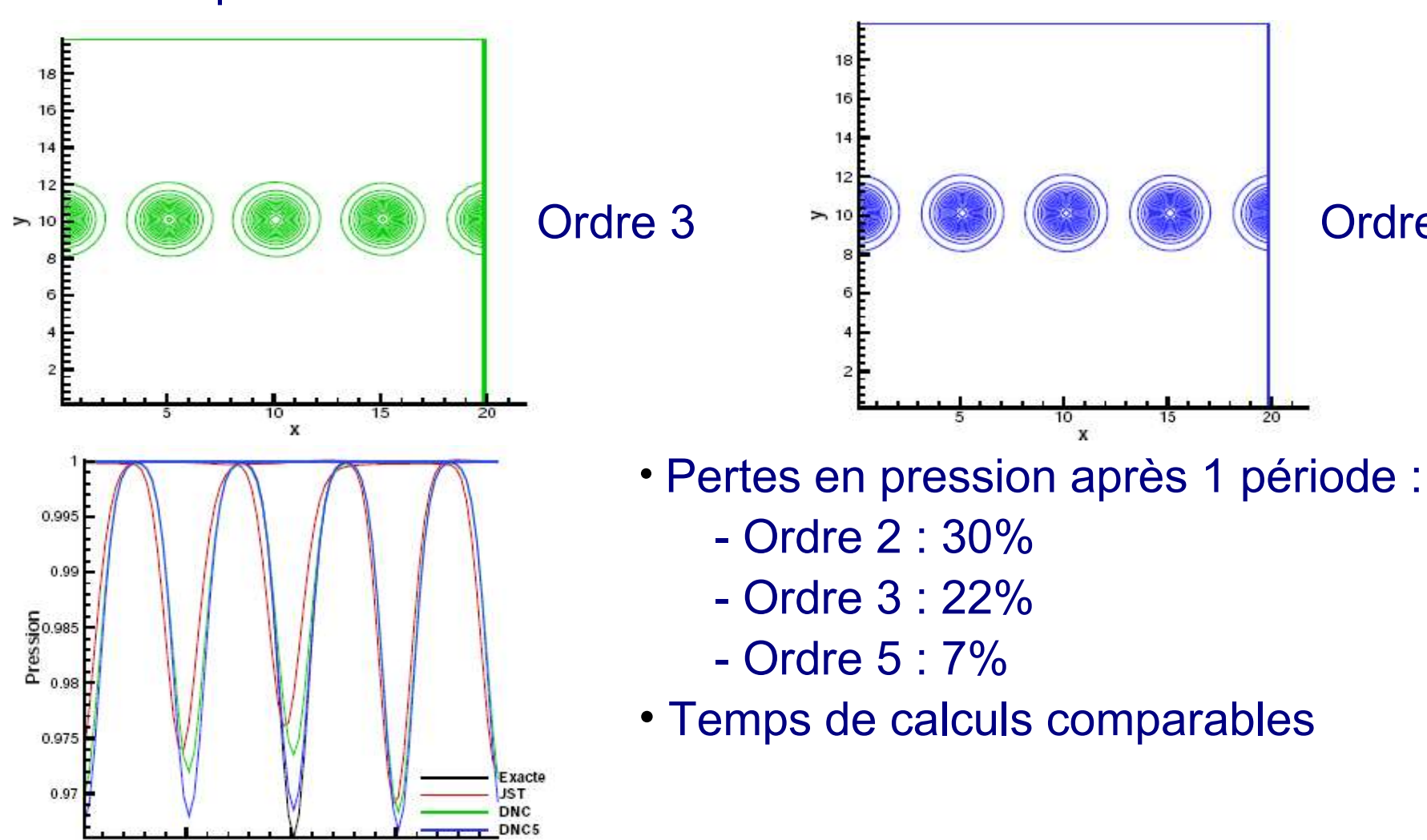
 Propriétés de conservation du tourbillon, h=0,5 : maillage cartésien régulier



#### Advection d'un tourbillon isolé : conservation (2)

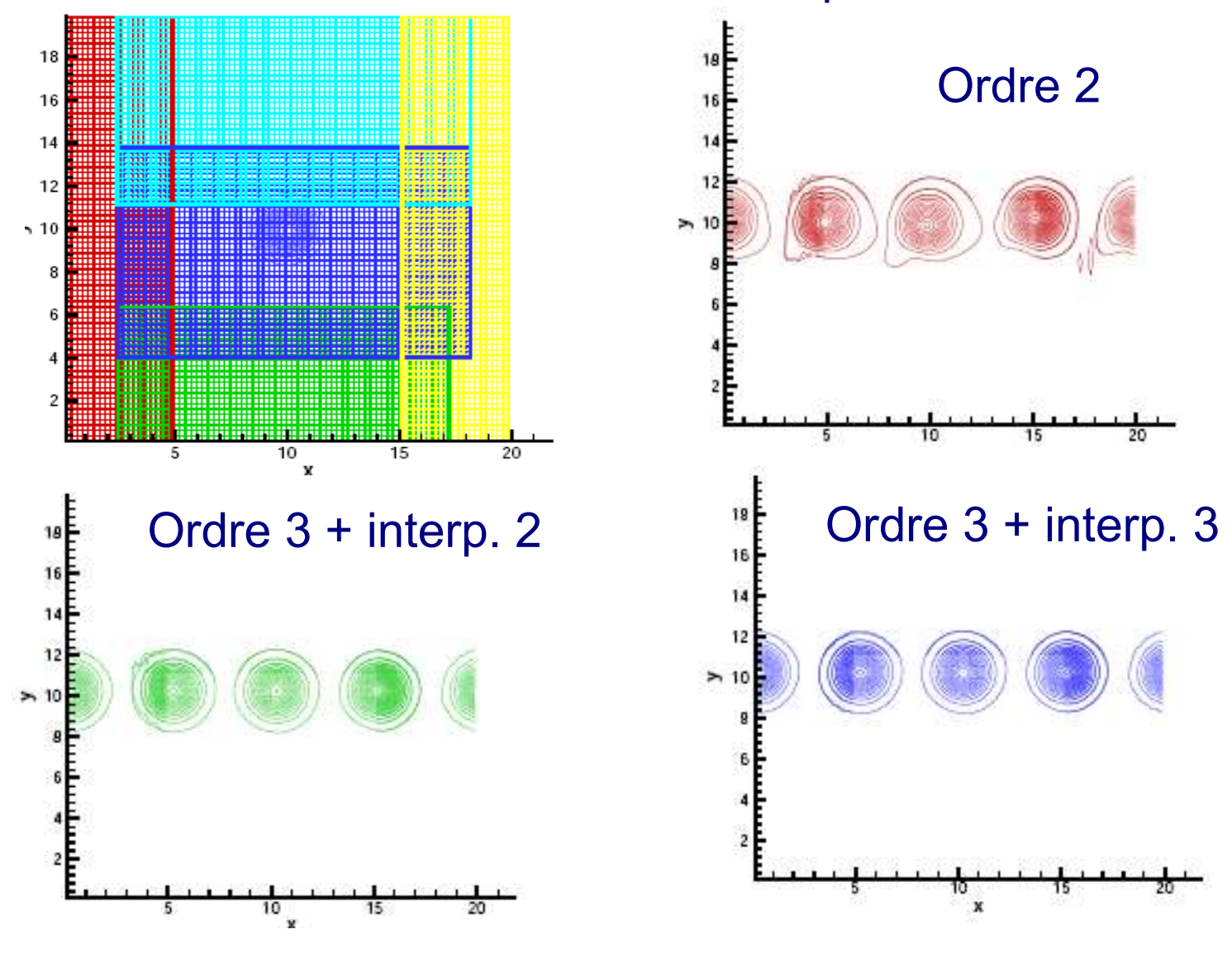
Ordre 5

- Mesure de la capacité des schémas à conserver le tourbillon
- Comparaison entre les différents schémas



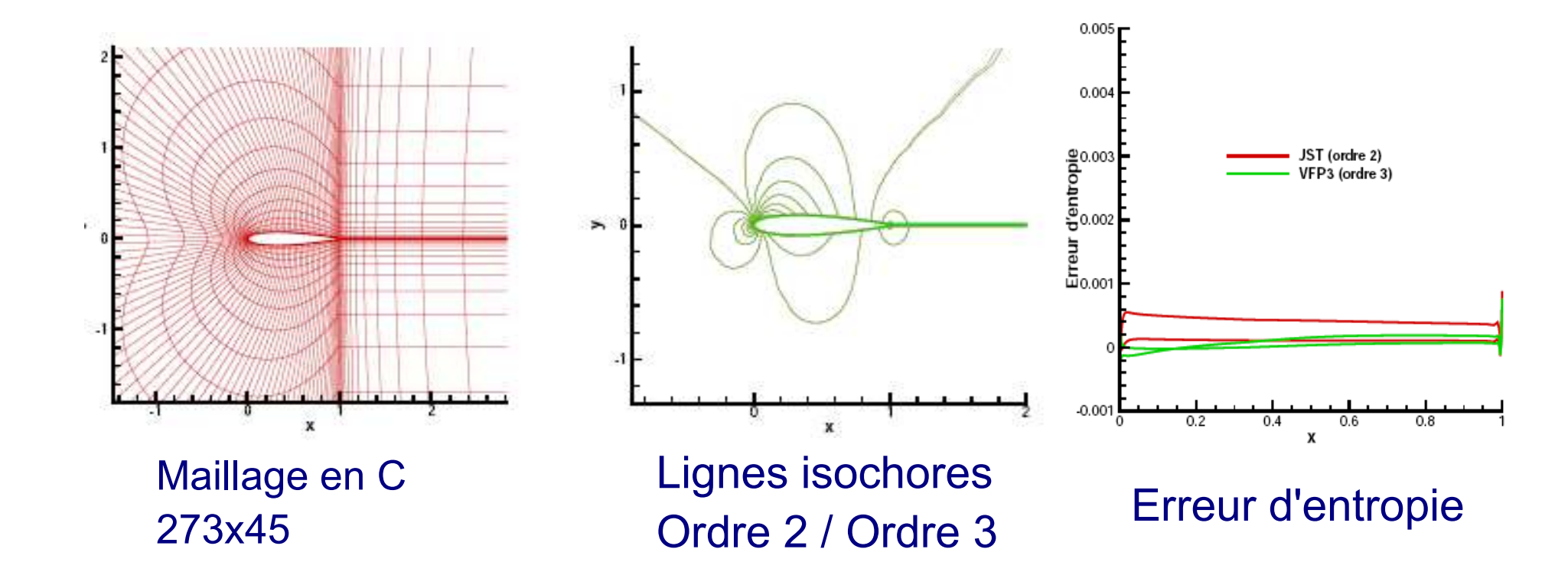
#### Advection d'un tourbillon isolé : maillages recouvrants (4)

- 5 blocs cartésiens avec recouvrement
- Mesure de l'influence de l'ordre des interpolations



#### Ecoulement autour d'un profil : maillage monobloc (1)

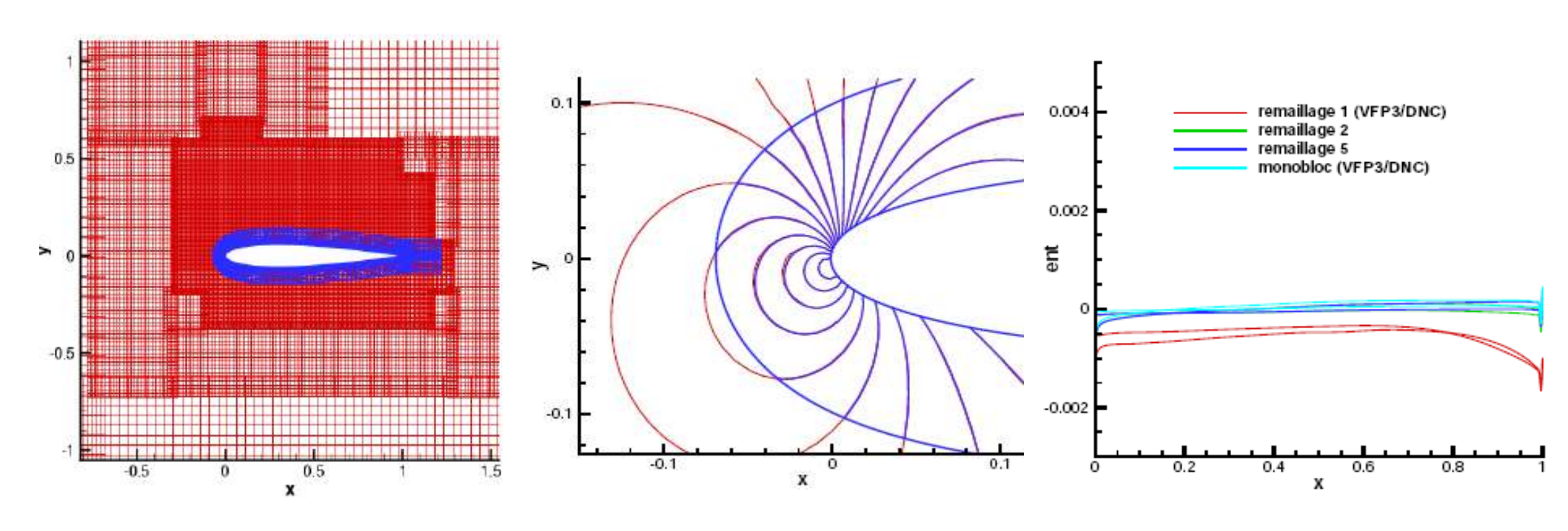
- Ecoulement subsonique non visqueux autour du profil NACA0012, M=0,63; 2 degrés
- Maillage en C monobloc
- Evaluation de l'erreur d'entropie à la paroi



#### Ecoulement autour d'un profil : maillage adapté (2)

- Utilisation de l'adaptation de maillage
  5 remaillages, 32 blocs, 50000 points

  - Indicateur : gradient fondé sur le nombre de Mach
- Précision du même ordre qu'en maillage monobloc
  Plus grande précision de l'ordre 3 (bord d'attaque)
  Temps de calcul comparables ordre 2/ordre 3 (adapté)



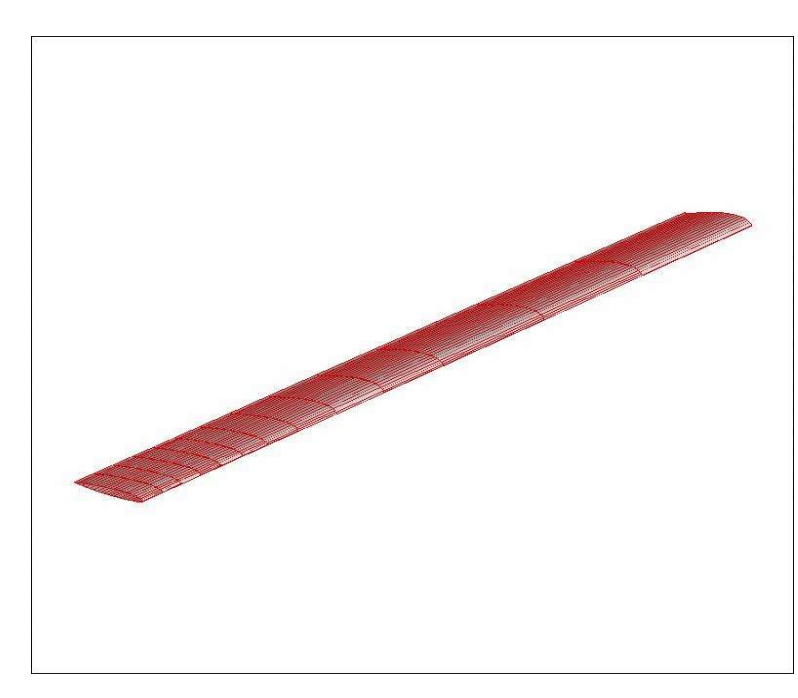
Maillage adapté

Lignes isochores

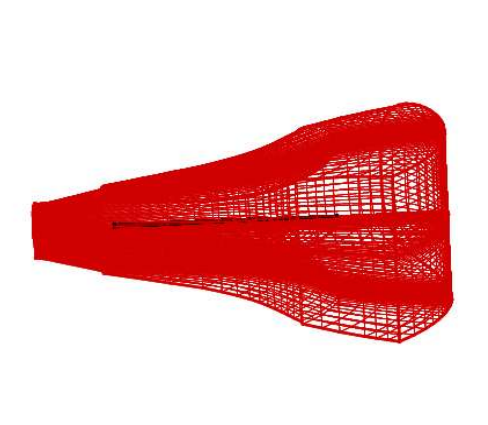
Erreur d'entropie

#### Pale isolée du rotor 7A: cas test (1)

- Pale isolée du rotor 7A en vol stationnaire
- Pale d'allongement R=15c, c=0,1, profil OA209
  Pas collectif : θ = 10°
- Angle de conicité :  $\beta$  = 3°
- Vitesse angulaire adimensionnée :  $\Omega$  = 0,4408
- Nombre de Mach extrémité de pale : M<sub>in</sub>=0,662



Vue de la pale



Maillage de la pale 140x27x18

#### Pale isolée du rotor 7A : méthodes numériques

- Approximations spatiales
  - Méthode JST
    - Schéma de Jameson, volumes finis sur la pale
    - Schéma de Jameson, différences finies sur les grilles cartésiennes
    - Interpolations d'ordre deux
  - Méthode VF3/DNC
    - Formulation volumes finis VF3 sur la pale
    - Formulation DNC (grilles cartésiennes)
    - Interpolations d'ordre 3 (grilles cartésiennes)
  - Méthode VF3/DNC5
    - Formulation volumes finis VF3 sur la pale
    - Formulation DNC5 (grilles cartésiennes)
    - Raccords chimères d'ordre 3
- Discrétisation temporelle
  - Backward-Euler + phase implicite de type LDU

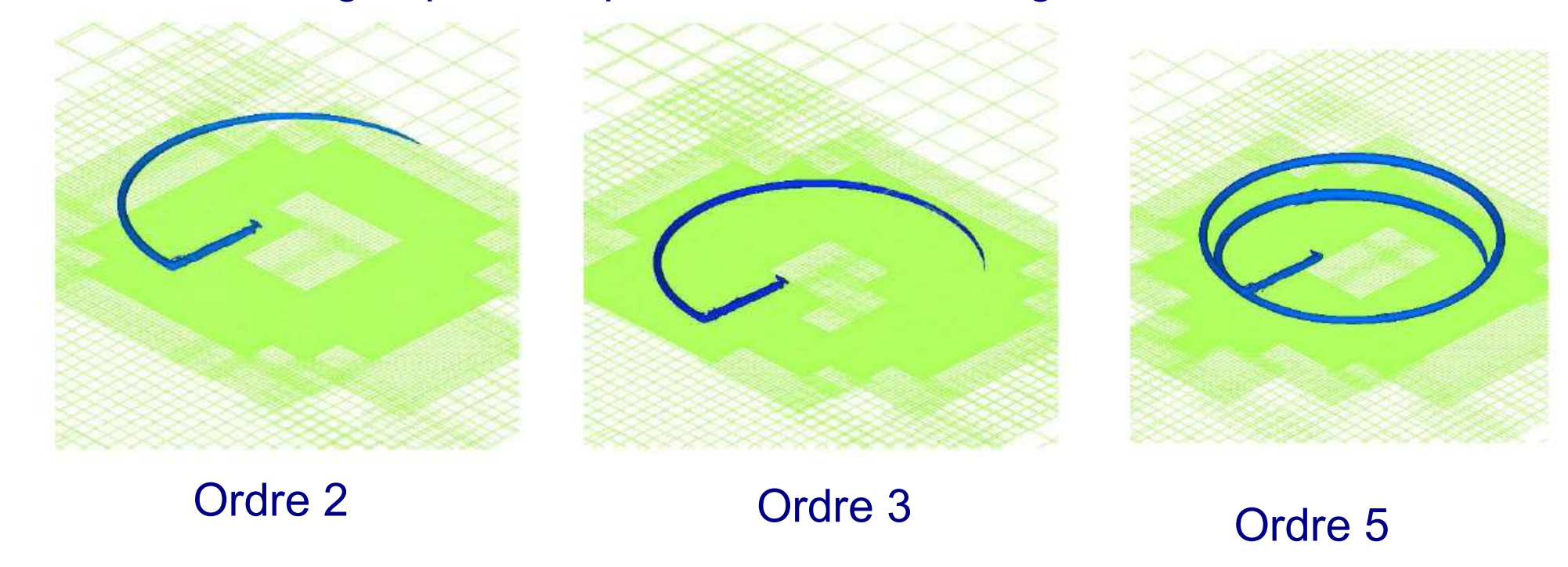
#### Pale isolée du rotor 7A : stratégie de maillage

- Génération automatique de maillage
  8 blocs cartésiens se recouvrant : 230 000 points
  Bloc cartésien le plus fin : δx<sub>min</sub> = 0,136
  Domaine : [-5,5] x [-5,5] x [-5,5]
- Adaptation automatique cartésienne
  - 9 remaillages
  - Indicateur de raffinement : rotationnel de la vitesse
  - Bloc cartésien le plus fin :  $\delta x_{min} = 0,015$
  - Environ 4,5 millions de points
  - 1 point dans le coeur du tourbillon

#### Pale isolée du rotor 7A

- Raffinement dans les zones du sillage tourbillonnaire
- Meilleure capture du sillage avec la méthode VF3/DNC

Vue du maillage après adaptation et surface d'égale vorticité



### Pale isolée en vol d'avancement

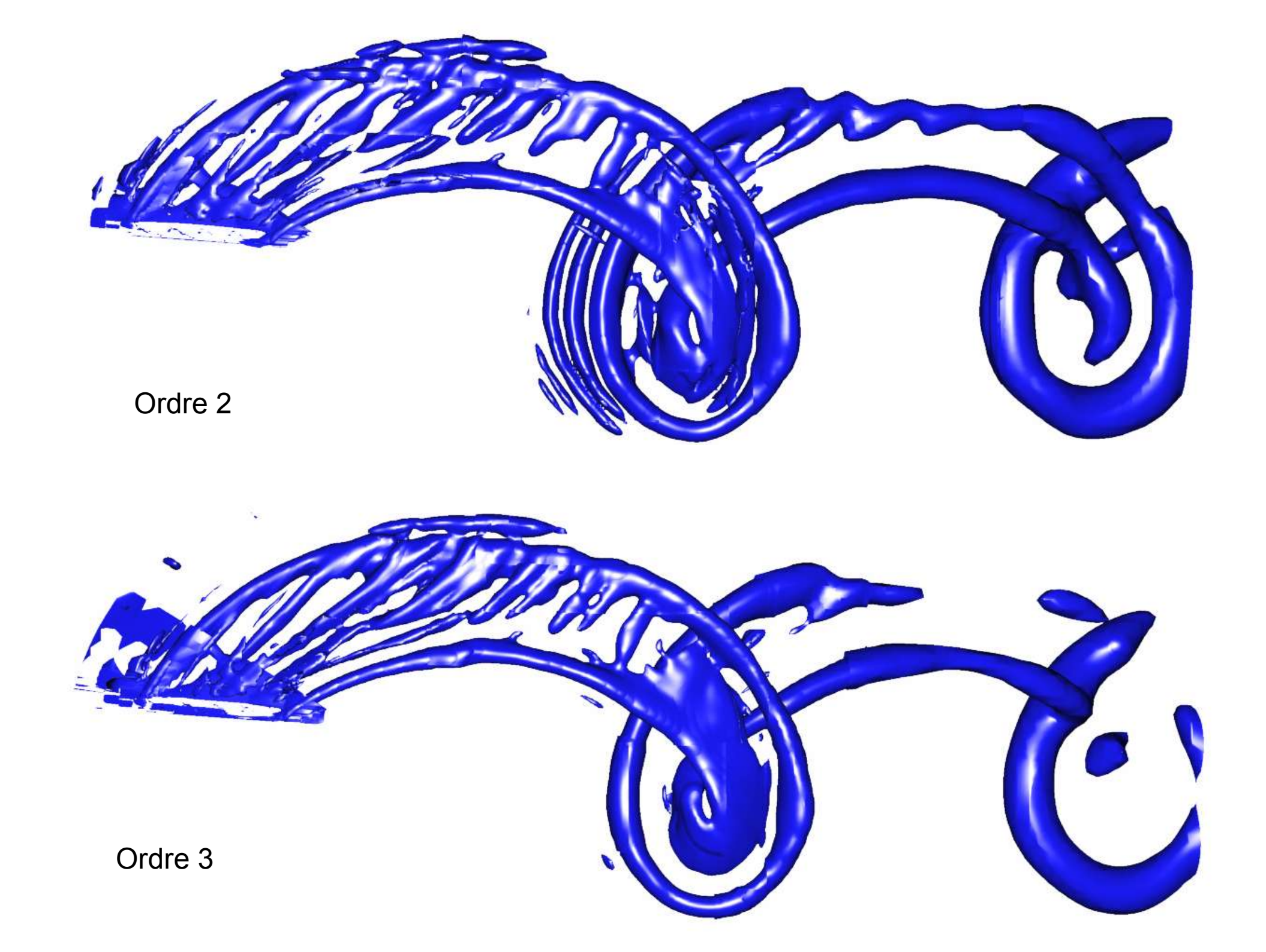
- Pale isolée du rotor 7A en vol d'avancement
- Pale d'allongement R=15c, c=0,1, profil OA209
- Pas collectif et conicité variables
- Vitesse d'avancement :  $\mu = 0.4$
- Nombre de Mach extrémité de pale : M<sub>in</sub>=0,646

#### Pale isolée en vol d'avancement

- Approximations spatiales
   Méthode VF3/DNC
  - - Formulation volumes finis VF3 sur la pale
    - Formulation DNC (grilles cartésiennes)
    - Interpolations d'ordre 3 (grilles cartésiennes)
- Discrétisation temporelle
  - Runge-Kutta d'ordre 3

#### Pale isolée en vol d'avancement

- Génération automatique de maillage
  - 3 million de points
  - Domaine : [-5,5] x [-5,5] x [-5,5]
- Adaptation automatique cartésienne
  - 6 remaillages
  - Indicateur de raffinement : rotationnel de la vitesse
  - Environ 19 millions de points



### Conclusion

- La méthode est utilisée aujourd'hui dans de nombreux contextes (avions, hélicos, ...)
- Maturité du schéma à l'ordre 3
- Travail en cours:
  - Automatiser la génération des maillages de corps
  - Utilisation avec les IBC